

## تحلیل جریان واکنشی چرخشی در محفظه احتراق مدل توربین گاز با تأکید بر فرآیند تشعشع

فرزاد بازدیدی تهرانی<sup>1</sup>, حامد زینی وند<sup>2</sup>

تهران، دانشگاه علم و صنعت ایران، دانشکده مهندسی مکانیک  
*bazdid@just.ac.ir*

### چکیده

در مقاله حاضر، به تحلیل عددی سه بعدی جریان واکنشی، چرخشی و دیفیوژنی متان و هوا در محفظه احتراق مدل یک توربین گاز مبتنی بر روش حجم محدود پرداخته شده است. از مدل تنش‌های رینولدز (RSM) برای پیش‌بینی جریانات آشفته و از مدل اضمحلال گردابی (EDM) برای بررسی واکنش جریان بهره گرفته شده است. برای پیش‌بینی انتقال حرارت تشعشعی از مدل تشعشعی انتقال مجزا (DTRM) که برای محیط‌های احتراقی با خامت نوری پایین مانند سوخت گاز مناسب می‌باشد، استفاده شده است و نتایج حاصله با حالتی که از تشعشع صرف‌نظر می‌شود مقایسه شده است. مقایسه نتایج حاضر با نتایج تجربی موجود نشانگر آن است که فرآیند تشعشع در محاسبات مربوط به احتراق متan تاثیر قابل توجه‌ای بر روی پروفیل‌های دما ندارد اما بر روی بر پیش بینی آلاینده NO<sub>X</sub> موثر است. همچنین، سهم مهمی از شار حرارتی ورودی به دیواره محفظه احتراق را انتقال حرارت تشعشعی تشکیل می‌دهد.

**واژه‌های کلیدی:** جریان واکنشی چرخشی - محفظه احتراق - شبیه‌سازی عددی - انتقال حرارت تشعشعی - آلاینده NO<sub>X</sub>

### ۱- مقدمه

محفظه احتراق یک توربین گاز را می‌توان به عنوان محیط احتراقی که در آن گستره وسیعی از فرآیندهای فیزیکی و شیمیایی رخ می‌دهد در نظر گرفت. امروزه با وجود پیشرفت‌های بسیار در روش‌های حل عددی، پیش‌بینی صحیح فرآیندهای واکنشی همچنان به عنوان یک چالش به شمار می‌رود. از طرفی هزینه‌های بالای انجام مطالعات تجربی نیاز به استفاده از روش‌های حل عددی و تحلیلی را بیش از پیش ضروری می‌سازد. بررسی و تحلیل عملکرد محفظه احتراق و آلاینده‌های حاصله یک نیاز اساسی در مرحله طراحی به شمار می‌رود. پارامترهای مهم موجود در محفظه احتراق عبارتند از رژیم جریان، واکنش اجزاء، مبدلات حرارتی و آلاینده‌های حاصل. به منظور شبیه‌سازی جریان داخل محفظه احتراق مطالعات وسیعی صورت گرفته است. از طرفی دیگر ایجاد جریان چرخشی در محفظه احتراق به عنوان یک وسیله موثر جهت پایدار کردن شعله و همچنین اختلاط بهتر سوخت و اکسید کننده به حساب می‌آید. ایجاد جریان تؤام با چرخش سبب تولید گرادیان‌های فشاری منفی و همچنین جریان‌های برگشتی در داخل محفظه احتراق می‌شود. این فرآیندها در نهایت گردابه‌ها را تولید می‌کنند که در عین پایدار کردن شعله باعث اختلاط بهتر نیز می‌شود. نجاد (Nejad) و همکاران [1] مدل آشفته‌گی استاندارد k-E را برای پیش‌بینی جریان چرخشی در داخل محفظه احتراق با  $S = 0/3$  به کار برده‌اند که عدد چرخش نامیده می‌شود و به عنوان

1- دانشیار مهندسی مکانیک

2- دانشجوی کارشناسی ارشد تبدیل انرژی

نسبت بین شار محوری حاصل از ممان زاویه ای به شار محوری ناشی از ممان خطی تعریف می شود (رجوع به معادله ۱). آنها نشان داده اند که مدل استاندارد k-E قابلیت پیش بینی جریان های چرخشی را ندارد. مدل k-E [2] علیرغم اینکه جریانهای چرخشی تشکیل شده در کناره را تا حدودی می تواند پیش بینی کند ولی در پیش گویی جریانهای گردابه ای مرکزی برای جریانهای چرخشی با عدد چرخش بزرگتر از ۰/۵ ناتوان است. مدل آشفتگی تنش های رینولدز (RSM) [3]، با وجود هزینه های سنگین محاسباتی، دارای دقت خوبی برای مدل سازی جریانهای دارای چرخش بالا می باشد و علاوه بر پیش بینی گردابه های کناری، جریان چرخشی بزرگ منطقه مرکزی را با دقت قابل قبولی پیش بینی می کند. همچنین مدل های پیچیده تری مانند شبیه سازی گردابه های بزرگ (LES) توسط دی مر (Di Mare) و همکاران [4] و ماہش (Mahesh) و همکاران [5] برای بررسی جریانهای واکنشی داخل محفظه احتراق به کار برد شده است. اما مدل LES به دلیل نیاز به تعداد المان های بسیار زیاد و در نتیجه واحد پردازش مرکزی (CPU) بسیار قوی، دارای هزینه سنگین است. اخیراً مدل جدید حل مستقیم عددی (DNS) نیز تنها برای مدل های ساده تحقیقاتی به کار برد شده است [6]. مدل سازی اندر کنش آشفتگی و احتراق سوخت گاز توسط محققان بسیاری مانند چانگ (Chung) [7] و جونز و وايت لا (Jones and Whitelaw) [8] انجام گرفته است. ویسکانتا و منگوچ (Viskanta and Menguc) [9] بررسی جامع و وسیعی در مورد انتقال حرارت تشعشعی در سیستمهای احتراقی انجام داده و ویژگیهایی مانند قابلیت کاربرد برای خواص غیر همگن و وابسته، محیط های با پراکنش و گرادیان دمایی بالا و همچنین هماهنگ پذیری با الگوریتم های المان محدود و حجم محدود را برای یک مدل تشعشعی بیان کرده اند. اندر کنش فرآیند تشعشع و جریان واکنشی آشفته نیز به عنوان یک چالش عمده همواره مورد بررسی قرار گرفته است و نتایج نشان می دهد که تشعشع و آشفتگی اثری متقابل بر یکدیگر دارند. لی و مودست (Li and Modest) [10-11] و جدیدترین تحقیقات را در این مورد به کمک بسته نرم افزاری دینامیک سیالات محاسباتی (FLUENT) [12]، انجام داده اند. اسموت (Smoot) و همکاران [13] و اسموت و اسمیت (Smoot and Smith) [14] نخستین مدل های پیش بینی و مدل سازی NO<sub>x</sub> را پیشنهاد کرده اند. در مقاله حاضر، تحلیل عددی محفظه احتراق مدل توربین گاز ساکن مورد بررسی قرار گرفته و نتایج حاصله با داده های تجربی موجود که توسط ویگند (Weigand) و همکاران [15] استخراج شده است مورد مقایسه قرار گرفته است. مدل آشفتگی و مدل واکنشی ثابت در نظر گرفته شده است و نتایج حاضر برای وجود و عدم وجود تشعشع بررسی شده است.

## 2- روش محاسباتی

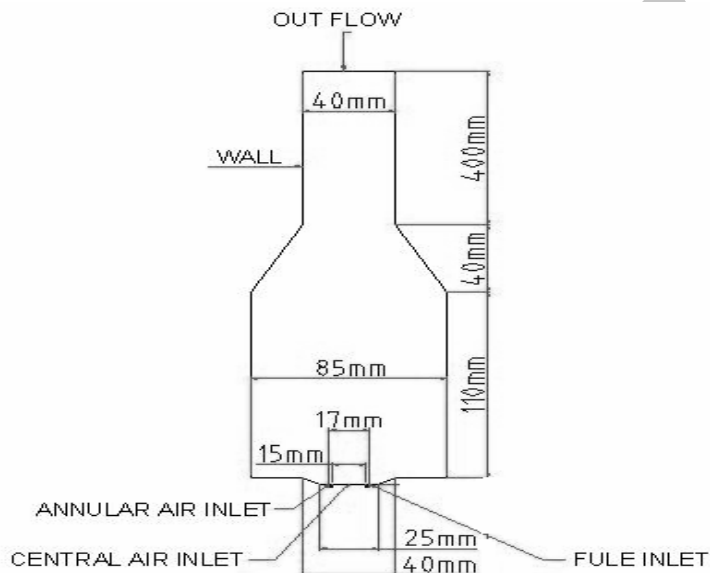
به منظور حل معادلات حاکم و به دلیل پیچیدگی و تنوع در شرایط حاکم بر مسئله، بسته نرم افزاری FLUENT [12] که مبتنی بر روش حجم محدود در مرکز سلول است مورد استفاده قرار گرفته است. برای گسته سازی ترمهای معادلات، تقریب مرتبه ۲ به کار برد شده و کوپل کردن ترمهای فشار و سرعت توسط الگوریتم سیمپل سی (SIMPLEC) صورت گرفته است. حل کننده تفکیکی (Segregated) با فرمولاسیون ضمنی (Implicit) به کار گرفته شده است. معیار همگرایی<sup>۶</sup> ۱۰ برای مقادیر مانده ترمهای انرژی و اجزاء و ۱۰<sup>۴</sup> برای سایر ترمهای معادله انتقال، اعمال شده است.

## 3- هندسه مسئله و شبکه انتخابی

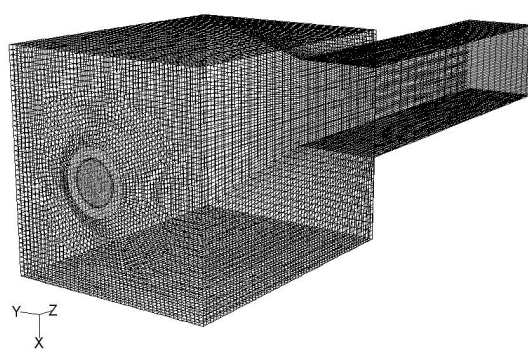
هندسه شماتیک محفظه احتراق مورد مطالعه بر مبنای کار آزمایشگاهی ویگند و همکاران [15]، که در شکل های (1) و (2) نشان داده شده است، سه بعدی و مکعبی شکل با عرض ۸۵mm و ارتفاع ۱۱۰mm می باشد. برای جلوگیری از بازگشت جریان خروجی و تاثیر جریان های پایین دست، محفظه احتراق به یک خروجی بلند به طول ۴۰۰ mm متصل شده است. ورودی سوخت در مدل آزمایشی از ۷۲ منفذ تشکیل شده که در اینجا با یک ورودی حلقوی با عرض ۰/۴۸mm جایگزین شده است. ورودیهای هوا شامل یک ورودی مرکزی و یک ورودی حلقوی می باشد که هر دو دارای جریان چرخشی با S = ۰/۵۵ می باشند. عدد چرخش، S، توسط رابطه زیر قابل محاسبه می باشد [15].

$$S = \frac{\int_0^R 2\pi u w \rho r^2 dr}{R \int_0^R 2\pi u^2 \rho r dr} \quad (1)$$

که در آن  $u$ ، مولفه محوری سرعت،  $w$  مولفه مماسی سرعت و  $R$  قطر حداکثری نازل می باشد. هوا و متان در دمای محیط وارد محفظه احتراق می شوند. دیواره ها از جنس کوارتز با ضریب ھدایت حرارتی بسیار پایین می باشد. دبی سوخت ورودی  $12,3 \text{ gr/min}$  و دبی هوای ورودی  $281 \text{ gr/min}$  می باشد که به نسبت سه به دو بین ورودی حلقوی و مرکزی تقسیم می شود. با توجه به شکل (2)، از بسته نرم افزاری GAMBIT [16] برای شبکه بندی محفظه استفاده شده است. پس از حل هندسه با تعداد مش های متفاوت، عدم وابستگی جوابها به تعداد مش بدست آمده است و در نهایت مدل نهایی با  $4 \times 10^5$  المان که از نوع مش سازمان یافته (structured) می باشد، حل شده است.



شکل ۱- ابعاد محفظه احتراق و شرایط مرزی اعمال شده



شکل ۲- هندسه سه بعدی و شبکه بندی محفظه احتراق مدل شده

#### 4- معادلات حاکم

فرم کلی معادلات جریان دائم و پایا برای مختصات استوانه ای به صورت زیر است [17]:

$$\frac{\partial}{\partial x}(\rho u \phi) + \frac{1}{r} \frac{\partial}{\partial r}(r \rho v \phi) = \frac{\partial}{\partial x}\left(\Gamma_\phi \frac{\partial \phi}{\partial x}\right) + \frac{1}{r} \frac{\partial}{\partial r}\left(r \Gamma_\phi \frac{\partial \phi}{\partial r}\right) + S_\phi \quad (2)$$

که در آن  $\phi$  بیانگر متغیرهایی مانند جرم، مومنت، انرژی جنبشی، نرخ اتلاف انرژی جنبشی، آنتالپی و کسر جرمی اجزائی شامل ( $\text{CH}_4, \text{O}_2, \text{N}_2, \text{H}_2, \text{H}_2\text{O}, \text{CO}_2, \text{CO}$ )،  $\Gamma_\phi$  ضریب دیفیوژن،  $S_\phi$  ترم چشممه های جریان (رجوع به معادله شماره (3)) و  $\rho$  چگالی جریان می باشد. معادله انرژی دارای دو ترم چشممه، وابسته به واکنش های شیمیایی و انتقال حرارت تشعشعی به شکل زیر می باشد [17]:

$$\frac{\partial}{\partial x_i}(\rho u_i h) = \frac{\partial}{\partial x_i}\left(k_{\text{eff}} \frac{\partial T}{\partial x_i} - \sum_j h_j J_j + u_j (\tau_{ij})_{\text{eff}}\right) + S_{\text{Reaction}} + S_{\text{Radiation}} \quad (3)$$

که در آن  $k_{\text{eff}}$  ضریب هدایت مؤثر ( $k_{\text{eff}} = k + k_t$ ) و  $J_j$  شار نفوذی جزء  $j$  می باشد. سه ترم ابتدایی سمت راست معادله (3)، بیان کننده انتقال انرژی هستند که به ترتیب ناشی از هدایت، نفوذ اجزاء و انتلاف ویسکوزیته می باشد. دو ترم انتهایی سمت راست بیان کننده واکنش شیمیایی و انتقال حرارت تشعشعی می باشند که در ادامه مقاله در رابطه با آنها بحث شده است.

#### 4-1 مدل آشفتگی

فرم تانسوری معادلات ناویر-استوکس در حالت پایا به صورت زیر نوشته می شود [18]:

$$\frac{\partial U_j}{\partial x_i} = 0, \quad (4)$$

$$\frac{\partial(U_i U_j)}{\partial x_j} = -\frac{1}{\rho} \frac{\partial P}{\partial x_j} + \frac{\partial}{\partial x_j}\left(V \frac{\partial U_j}{\partial x_j} - \overline{u_i u_j}\right), \quad (5)$$

که در آن  $U_j$  و  $u_j$ ، مولفه های متوسط و نوسانی سرعتها،  $P$  متوسط فشار و  $V$  ویسکوزیته سیال می باشد. فرم مدل شده معادلات انتقالی تنش های رینولدز (RSM) به صورت معادله (4) نوشته می شود [19]:

$$\frac{\partial(U_k \overline{u_i u_j})}{\partial x_k} = P_{ij} - \varepsilon_{ij} + \phi_{ij} + d_{ij} \quad (6)$$

شامل دو بخش است: نفوذ آشفتگی  $d_{ij}^T$  و نفوذ مولکولی  $d_{ij}^L$ . به طور کلی ترم های اساسی معادلات انتقالی تنش های رینولدز به صورت زیر نوشته می شود:

$$d_{ij}^T = -\frac{\partial}{\partial x_k} \left[ \rho \overline{u_i u_j u_k} + p(\delta_{kj} \overline{u_i} + \delta_{ik} \overline{u_j}) \right], \quad (7)$$

$$d_{ij}^L = \frac{\partial}{\partial x_k} \left[ \mu \frac{\partial}{\partial x_k} (\bar{u}_i \bar{u}_j) \right], \quad (8)$$

$$P_{ij} = -\rho \left( \bar{u}_i \bar{u}_k \frac{\partial U_j}{\partial x_k} + \bar{u}_j \bar{u}_k \frac{\partial U_i}{\partial x_k} \right), \quad (9)$$

$$\phi_{ij} = p \overline{\left( \frac{\partial u_i}{\partial x_j} + \frac{\partial u_j}{\partial x_i} \right)}, \quad (10)$$

$$\varepsilon_{ij} = -2\mu \overline{\frac{\partial u_i}{\partial x_j} \frac{\partial u_j}{\partial x_k}}. \quad (11)$$

در ترمehای بالا  $d_{ij}^L$  و  $P_{ij}$  نیاز به مدل کردن ندارند و  $d_{ij}^L$  را می‌توان به صورت زیر مدل کرد.

$$d_{ij}^T = \frac{\partial}{\partial x_k} \left( \rho \frac{\nu_t}{\sigma_k} \overline{\frac{\partial u_i}{\partial x_k} u_j} \right), \quad (12)$$

که در آن،

$$\sigma_k = 0.82$$

و  $\nu_t$ ، ویسکوزیته ادی آشفتگی است که از رابطه (13) محاسبه می‌شود.

$$\nu_t = C_\mu \left( \frac{k^2}{\varepsilon} \right), \quad (13)$$

$k$  انرژی جنبشی آشفتگی،  $\varepsilon$  نرخ اضمحلال انرژی جنبشی آشفتگی و  $C_\mu = 0.09$  عدد ثابت می‌باشد.

## 4-2- مدل واکنشی

برای مدلسازی فرآیند احتراق از مدل اضمحلال گردابه (Eddy Dissipation Model) که نخستین بار توسط اسپالدینگ (Spalding) پیشنهاد شد و سپس توسط مگنسن و جرتاگر (Magnussen and Hjertager) [20] توسعه یافت، استفاده شده است. مدل مذکور، نرخ واکنش شیمیایی را به نرخ اضمحلال گردابه‌های حاوی واکنش دهنده‌ها و محصولات مربوط می‌کند. فرض اساسی این است که نرخ اضمحلال گردابه‌های آشفتگی با کسر  $k / \varepsilon$  متناسب است که در آن  $\varepsilon$  اضمحلال انرژی آشفتگی و  $k$  انرژی جنبشی آشفتگی می‌باشد [21]. در این مدل سه نرخ واکنشی متفاوت محاسبه می‌شود:

نرخ کسر جرمی متوسط سوخت

$$\overline{\omega_F} = \overline{\rho A Y_F} \frac{\varepsilon}{k}, \quad (14)$$

نرخ کسر جرمی متوسط اکسید کننده

$$\overline{\omega_O_2} = \overline{\rho A Y_{O_2}} \frac{\varepsilon}{k}, \quad (15)$$

و نرخ کسر جرمی متوسط محصول

$$\overline{\omega_P} = \overline{\rho A B} \frac{\varepsilon}{(1+\nu)} \overline{Y_P} \frac{\varepsilon}{k}, \quad (16)$$

در معادله (14) تا (16) A و B اعداد ثابت هستند. مینیمم این سه نرخ به عنوان نرخ کلی واکنش در نظر گرفته می شود. در مدل اضمحلال گردابه فرض می شود که واکنش باید بسیار سریعتر از اختلاط باشد و بنابراین فقط سرعت اختلاط (نرخ شکست گرداب) محاسبه می شود. فرض واکنش سریع به میزان قابل توجهی مقدار تشکیل محصول را زیاد پیش‌گویی می کند و بنابراین اکسید ازت NO را بیش از مقدار واقعی پیش بینی می کند [22]. مدل اضمحلال گردابه در مقایسه با مدل‌های جدیدتر مانند معادله انتقال تابع احتمال جرم مخصوص (Probability Density Function Transport Equation) [23] و مدل‌های پیشرفت‌های شعله‌های کوچک (Flamelet) [24] دارای دقت کمتری است. ولی به همان میزان، مدل‌های احتراقی مذکور در هنگام مواجهه با جریانهای با آشفتگی شدید و با حضور تشعشع، دارای مشکل زمان بر و پرهزینه بودن می‌گردند [27].

#### 3-4- مدل تشعشعی

در سیستم‌های احتراقی بخش عمدات از انتقال حرارت به طریقه تابش صورت می گیرد. معادله کلی انتقال تشعشعی (Radiative Transfer Equation) یک معادله انتگرالی- دیفرانسیلی می باشد. در نتیجه حل آن به روش‌های معمولی بسیار مشکل و پرهزینه است. روش‌های مختلفی برای مدل‌سازی تشعشع به وجود آمده است که هر یک دارای محسن و معایبی می باشند. مدل مورد استفاده در مقاله حاضر، مدل تشعشعی انتقال مجزا (Discrete Transfer Radiation Method) [25] که برای محیط‌های با ضخامت نوری کم (مانند سوخت گاز) جواب قابل قبولی می دهد. ضخامت نوری،  $aL$  معیاری مناسب برای انتخاب نوع مدل تشعشعی می باشد که در آن  $a$  ضریب جذب و  $L$  یک پارامتر هندسی مناسب از محفظه مورد بررسی می باشد. مدل انتقال مجزا، کل تبادلات تابشی از یک ذره را با تعدادی پرتو معین و در زوایای مشخص جایگزین می کند. با افزایش تعداد پرتوها، دقت محاسبات افزایش می یابد ولی مدت زمان محاسبه نیز افزایش خواهد یافت. در مطالعه حاضر، هر ذره در نظر گرفته شده به 16 بخش تقسیم می شود و از هر بخش یک پرتو به عنوان نماینده مورد بررسی قرار می گیرد. ملاک محاسبات، شدت پرتو تابیده شده از ذره می باشد.

در معادله (17)، تغییرات شدت تشعشع،  $I$  در مسیر  $S$ ، بصورت زیر نوشته می شود:

$$\frac{dI}{ds} + aI = \frac{a\sigma T^4}{\pi} \quad (17)$$

که در آن  $a$  = ضریب جذب گاز ( $1/m$ ),  $I$  = شدت تشعشع پرتو،  $T$  = دمای محلی گاز (K) و  $\sigma$  = ثابت استفان-بولتزمن ( $5.672 \times 10^{-8} W/m^2 K^4$ ) می باشد.

مدل انتقال مجزا، پراکنش را در محاسبات خود وارد نمی کند و با توجه به مدل کردن سوخت گازی در کار حاضر و اینکه بیشترین سهم تشعشع مربوط به گازهای غیر درخششده مانند دی اکسید کربن با خواص پراکنشی بسیار پایین می باشد، لذا اثر منفی این نکته قابل چشم پوشی است. همچنین ضریب جذب در این مدل ثابت در نظر گرفته نشده است بلکه با استفاده از مدل توزیع وزنی مجموع گازهای خاکستری (Weighted-Sum-of-Gray-Gases Model) که نخستین بار توسط هاتل (Hottel) پیشنهاد شد [26]، اثر تغییرات فشار، دما و اجزاء بر روی ضریب جذب مذکور قرار گرفته است.

#### 4-4- مدل آلایندگی

برای بررسی آلاینده های نیتروژن، بیشترین تاکید بر روی آلاینده اکسید نیتروژن (NO) شده است که اهمیت بسیار بیشتری نسبت به دی اکسید نیتروژن ( $NO_2$ ) و همچنین اکسید دی نیتروژن ( $N_2O$ ) دارد [27]. مدل آلایندگی شامل سه سینیتیک شیمیایی اصلی می باشد:

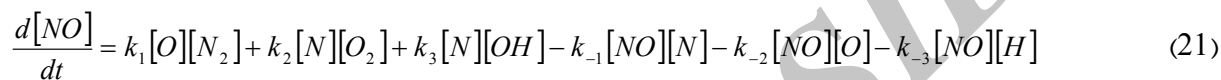
۱- اکسید نیتروژن حرارتی بر مبنای مکانیزم توسعه یافته زلدویچ (Zeldovich) [27] که از اکسیداسیون مستقیم نیتروژن موجود در اتمسفر شکل می‌گیرد و بیشترین درصد  $\text{NO}_x$  تشکیل شده را شامل می‌شود. مکانیزم توسعه یافته زلدویچ به صورت زیر تعریف می‌شود:



به علاوه یک واکنش سوم که در نزدیکی شرایط استوکیومتریک و مخلوط غنی اهمیت پیدا می‌کند نیز وجود دارد که توسط رابطه زیر بیان می‌شود.



نرخهای ثابت واکنش از بررسی تجربی هانسن و سلیمیان (Hanson and Salimian) [28] قابل برداشت است. نرخ خالص تشکیل NO حاصل از واکنش‌های 18 الی 20 به صورت معادله واکنش 21 است.



واحد تمام غلظت‌ها مول بر مترمکعب ( $\text{mol}/\text{m}^3$ ) می‌باشد.

۲- اکسید نیتروژن فوری (Prompt) که اولین بار توسط فنیمور (Fenimore) [29] ارائه شد. در این مکانیزم، اکسید نیتروژن از اکسیداسیون مستقیم نیتروژن تشکیل نمی‌شود، بلکه به صورت غیر مستقیم و از سیانید نیتروژن (HCN) تولید شده در محفظه احتراق شکل می‌گیرد. مکانیزم تشکیل اکسید نیتروژن فوری به صورت زیر است:



مقدار اکسید نیتروژن فوری به شدت به میزان کربن موجود در محفظه وابسته می‌باشد. این مکانیزم به ویژه در شرایط احتراقی دما پایین و یا حاوی مخلوط غنی سوخت اهمیت پیدا می‌کند که با ایجاد شرایط مناسب می‌توان آن را تا حدودی کنترل کرد.

۳- اکسید نیتروژن سوخت، که در مدل حاضر به دلیل اینکه گاز متان خالص در نظر گرفته شده و حاوی نیتروژن نمی‌باشد از آن صرفنظر شده است.

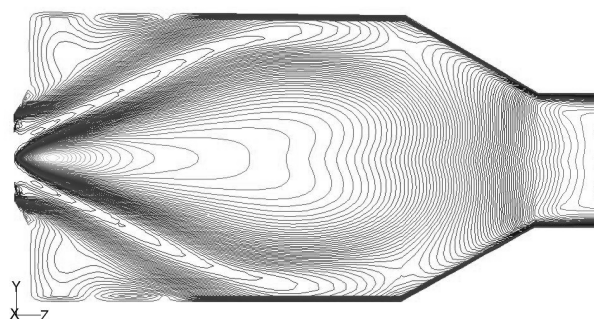
مکانیزم سوختن مجدد  $\text{NO}_x$  های تشکیل شده نیز منظور شده است که فرم کلی آن به صورت زیر می‌باشد.



همچنین برای ایجاد اثر آشفتگی جریان بر مکانیزم تشکیل  $\text{NO}_x$  از تابع احتمال جرم مخصوص (PDF) استفاده شده است، به این ترتیب اثر مهم آشفتگی بر تشکیل  $\text{NO}_x$  در محاسبات دخیل شده است.

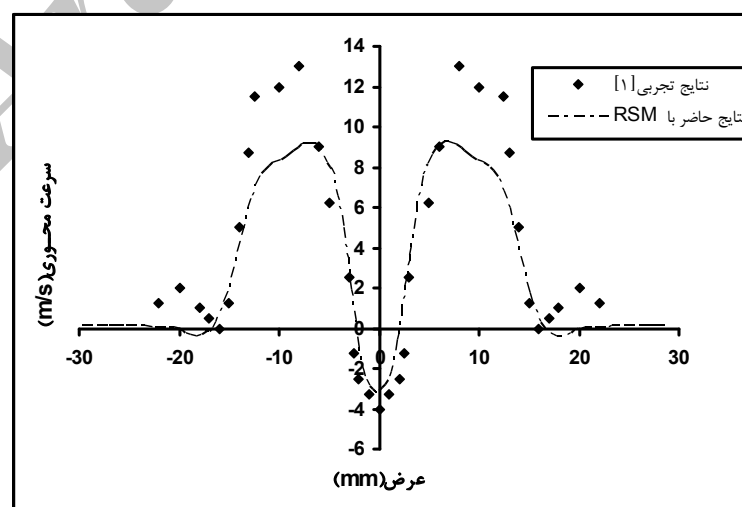
## 5- بحث پیرامون نتایج

در شکل (3) کانتورهای سرعت محوری در مقطع عرضی محفظه احتراق (مقطع برشی میانی  $X=0$ ) نمایش داده شده است. تشکیل منطقه های گردابه داخلی و خارجی ناشی از جریان چرخشی به خوبی نمایان است. گردابه بزرگ تشکیل شده در منطقه مرکزی نقش مهمی در پایداری شعله و اختلاط بهتر سوخت و اکسید کننده ایفا می کند. این گردابه به شکل یک چنبره تشکیل می شود. همچنین گردابه های کناری باعث افزایش نرخ انتقال حرارت به دیواره ها می گردد. مدل تنش های رینولدز (RSM) در پیش بینی گردابه های کناری عملکرد مناسبی دارد.



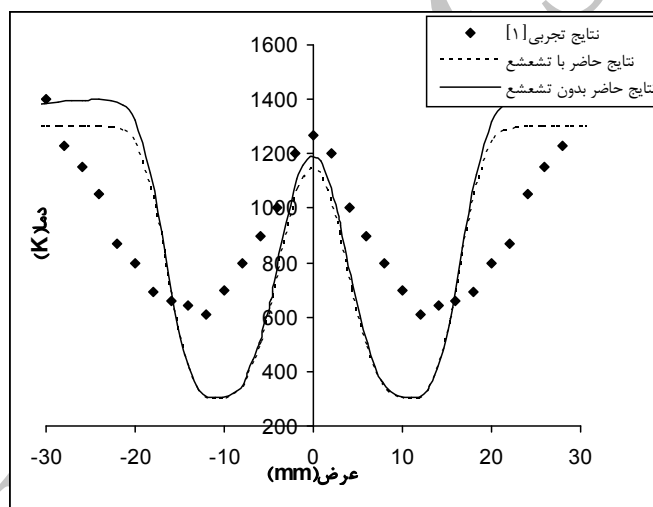
شکل 3 - کانتورهای سرعت محوری در مقطع میانی ( $X=0$ )

شکل (4) مقایسه بین پروفیل های سرعت محوری پیش بینی شده و نتایج تجربی موجود [15] در ارتفاع  $h=1\text{ mm}$  از سطح پایینی محفظه که به عنوان سطح مبنا در نظر گرفته شده است را ارائه می کند. مدل (RSM) جریان های برگشتی را به خوبی پیش بینی می کند و تشکیل گردابه های داخلی و خارجی را نمایان می سازد. جریان های برگشتی کناری با مقدار منفی شکل در عرض محفظه مدل، بین 15 mm تا 20 mm، نمایان شده است. این نکته به صورت مشخص در قسمت مرکزی مشاهده می شود و عملکرد مطلوب مدل (RSM) در پیش بینی پذیریده پیچیده برگشت جریان (ناشی از چرخش جریان) قابل توجه می باشد. مدل (RSM) به دلیل اینکه یک مدل غیر ایزوتropیک می باشد، بهتر از مدل های ایزوتropیک می تواند فرآیندهای غیر ایزوتropیک مانند چرخش جریان را پیش بینی کند.

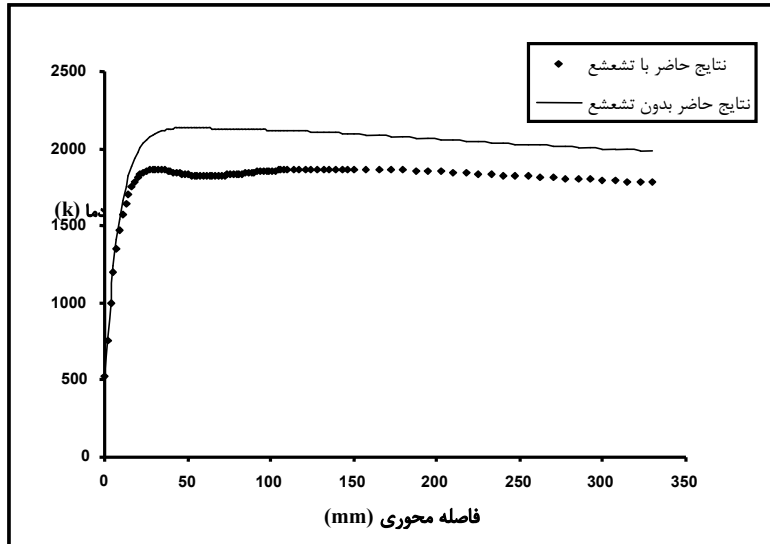


شکل 4- مقایسه بین پروفیل های سرعت محوری حاضر و نتایج تجربی در ارتفاع  $h=1\text{ mm}$

در شکل (۵) پروفیل‌های دمای حاصل از تحلیل عددی حاضر و داده‌های تجربی موجود در ارتفاع  $h=5\text{mm}$  از سطح مبنا آورده شده است. در نواحی ورودی سوخت و هوا و همچنین در نزدیک دیواره‌ها به دلیل وجود کشیدگی شدید شعله و ضعف مدل احتراقی اضمحلال گردابه (EDM) در پیش‌بینی شعله‌های با کشیدگی زیاد، نتایج حاضر با اطلاعات تجربی اختلاف دارد. به عنوان نمونه، در مناطق ورودی جریان در حدود ۵۰ درصد اختلاف وجود دارد زیرا در این مناطق سرعت اخلاط سوخت و اکسید کننده از سرعت احتراق آنها بالاتر است که با فرض مدل اضمحلال گردابه (EDM) در تقاض است، ولی در سایر قسمتها نتایج قابل قبول است. نکته‌هایی که در اینجا قابل ذکر است، اول رفتار ترمومکانیکی شعله و دوم احتراق تا حدودی آمیخته (Partially Premixed) شعله است [15] که هر دو مورد، مدلسازی احتراقی شعله را به خصوص در منطقه ورودی سوخت و اکسید کننده مشکل می‌سازد. به عبارت دیگر، اگر چه فرآیند ورودی سوخت و هوا به صورت غیرآمیخته می‌باشد، ولی به دلیل نوع جریان، رفتار یک شعله تا حدودی آمیخته را نشان می‌دهد که این نکته در مرجع [15] نیز گزارش شده است. همچنین، وقتی تشعشع دخیل می‌شود پیک دما مقداری (در حدود ۵ درصد) کاهش می‌یابد که ناشی از گسیل درصدی از حرارت بوسیله تشعشع می‌باشد. این موضوع در شکل (۶) که دمای خط مرکزی (بر روی محور Z) محفظه احتراق را در فاصله محوری نشان می‌دهد نیز مشهود است. با وارد شدن تشعشع به محاسبات، دمای محوری محفظه احتراق کاهش می‌یابد که میزان آن بین ۱۰-۱۵ درصد می‌باشد. از آنجا که بیشترین درصد محصولات احتراق متان را گازهای غیردرخشند تشکیل می‌دهد، لذا تاثیر تشعشع اندک است.

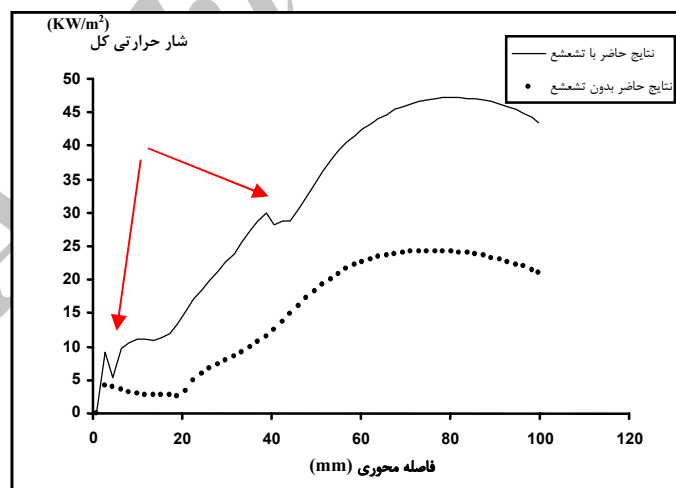


شکل ۵- مقایسه بین پروفیل‌های دمای حاضر و نتایج تجربی در ارتفاع  $h=5\text{mm}$  علت اختلاف در سطر ۴ بالا آورده شده است



شکل 6- تغییرات دمای محوری محفظه احتراق مدل با توجه به تاثیر فرآیند تشعشع

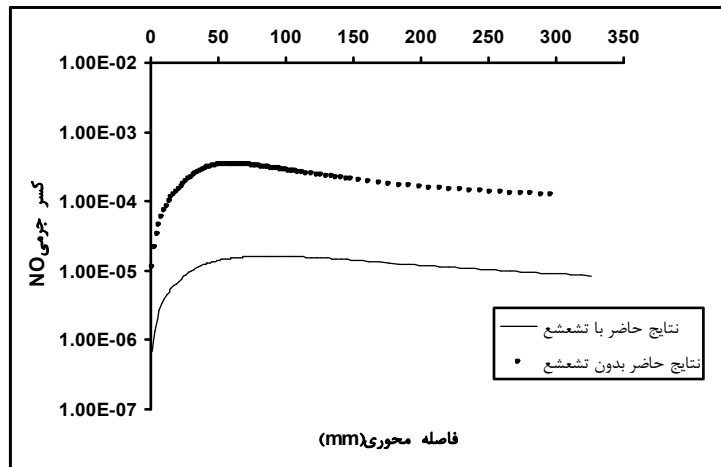
از شکل (7) می‌توان استنباط کرد که وارد کردن تشعشع در محاسبات، به شدت بر روی شار حرارتی کلی واردہ بر دیواره‌های محفظه احتراق تاثیر گذار است. در واقع به دلیل تمرکز بیشتر شعله در منطقه چرخشی مرکزی، درصد زیادی از شار حرارتی واردہ بر دیواره‌ها از طریق تابش صورت می‌گیرد. البته از نقش انتقال حرارت به طریقه جابجایی نیز نمی‌توان چشم پوشی نمود. کاهش شار حرارتی کل در فاصله محوری در حدود 50 میلیمتری در نمودار مربوط به حالت همراه با تشعشع را می‌توان به حضور اجزاء ورودی دانست که در اثر جریان چرخشی به دیواره این مناطق بسیار نزدیک می‌شوند و مقداری از شار حرارتی تشعشعی را جذب خود می‌کنند.



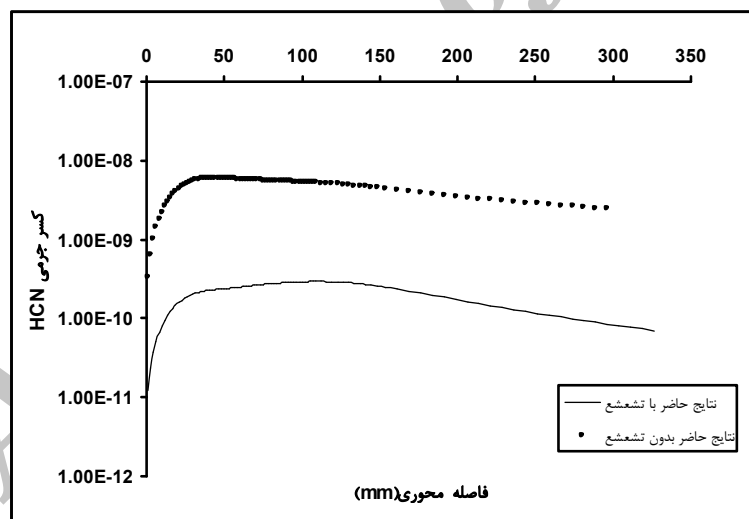
شکل 7 - تاثیر حضور فرآیند تشعشع بر روی شار حرارتی کلی واردہ بر دیواره محفظه

با توجه به شکل (8)، میزان  $\text{NO}_x$  تولید شده در مناطق با غلظت سوختی بالا و همچنین دمای بالاتر بیشتر است. از طرفی، بدلیل اینکه احتراق در دمای بالایی صورت می‌گیرد و مکانیزم‌های محاسباتی اکسیدهای نیتروژن به تغییرات جزئی

دما در شرایط دمایی بالا حساس می باشند، همین تغییرات کم به واسطه وجود تشعشع باعث تغییرات مشخصی در اکسید نیتروژن تولید شده می شود. به عبارت دیگر، کاهش دمای شعله به دلیل کاهش تشعشع سبب تولید اکسید نیتروژن کمتری می شود. همین شرایط را در مورد سیانید هیروژن (HCN) تولیدی که نقشی مهم در تولید  $\text{NO}_x$  فوری دارد می توان در شکل (9) مشاهده کرد. مقدار  $\text{NO}_x$  پیش بینی شده در محفظه احتراق به شدت به دقت محاسبات مربوط به جریان و احتراق وابسته است.



شکل 8 - کسر جرمی  $\text{NO}$  تشکیل شده در محور  $Z$  محفظه احتراق



شکل 9 - کسر جرمی HCN تشکیل شده در محور  $Z$  محفظه احتراق

## 6- نتیجه گیری

مدل سازی و تحلیل عددی محفوظه احتراق مدل یک توربین گاز به روش حجم محدود انجام شده است.  
آشفتگی جریان با استفاده از مدل تنش های رینولدز (RSM) مورد بررسی قرار گرفته و نتایج رضایت بخشی در -1  
موردنگراندابههای داخلی، خارجی و جریان های برگشتی حاصل شده است.

- 2 مدل واکنشی (EDM) برای قسمتهایی از شعله که دارای کشیدگی شدید می باشد نتایج چندان مطلوبی ارائه نمی دهد که به دلیل بالاتر بودن سرعت اختلاط نسبت به سرعت احتراق در این مناطق می باشد، ولی برای سایر قسمتها نتایج قابل قبول می باشد.
- 3 اثر فرآیند تشعشع در احتراق متان بررسی شده و نتایج حاصله با داده های تجربی موجود مورد مقایسه قرار گرفته است. مشاهده شده است که در احتراق متان به دلیل غالب بودن گازهای غیر درخشان، اثر تشعشع در پروفیل دمایی شعله ناچیز است ولی در شار حرارتی کلی واردہ بر دیواره ها تاثیر به سزا بی دارد. همچنین به دلیل دمای بالای واکنش، وجود تشعشع بر محاسبات آلینده  $\text{NO}_x$  که تاثیر شدیدی از تغییرات دما در دماهای بالا می گیرد تاثیرگذار است.

## مراجع

1. Nejad, A.S., Vanaka, S.P., Favaloro S.C., Samimy M., and Langenfeld C., "Application of Laser Velocimetry for Characterization of Confined Swirling Flow," *J. Engineering for Gas Turbines and Power*, Vol. 3, pp.36-45, 1989.
2. Yakhot, V., and Orszag, S.A., "Renormalization group and local order in strong turbulence," *Nuclear physics B – Proceeding Supplements*, Vol. 2, pp. 417-440, 1987.
3. Launder, B.E., "Second-moment closure: present and future," *Int. J. Heat and Fluid Flow*, Vol. 10, No. 4, 1989.
4. Di Mare, F., Jones, W.P., and Menzies, K.R., "Large eddy simulation of a model gas turbine combustor," *J. Combustion and Flame*, pp. 278-294, 2004.
5. Mahesh, K., Constantinescu, G., Apte, S., Laccarino, G., Ham, F., and Moin, P., "Large-eddy simulation of reacting turbulent flows in complex geometries," *ASME J. Applied Mechanics*, Vol. 73, pp. 374-381, 2006.
6. Boger, M., Veynante, D., Boughanem, H., and Trouve, A., "Direct numerical simulation analysis of flame surface density concept for large eddy simulation of turbulent premixed combustion," *27<sup>th</sup> Symposium (International) on Combustion Institute*, pp. 917-925, 1998.
7. Chung, T.J., *Numerical Modeling in Combustion*, Washington, D.C., Taylor and Francis, 1993.
8. Jones, W.P., and Whitelaw, J.H., "Calculation methods for reacting turbulent flows – Review," *Combustion and Flame*, Vol. 48, pp.1-26, 1982.
9. Viskanta, R., and Mengüç, M.P., "Principle of radiative heat transfer in combustion systems," *Handbook of Heat and Mass Transfer*, N. Cheremisinoff, Ed., Gulf Publishing, Houston, Vol. 4, chap. 22, pp. 925-978, 1990.
10. Li, G., and Modest, M.F., "Turbulence-radiation interactions in reacting flows using a hybrid FV/PDF Monte Carlo method," *Journal of Quantitative Spectroscopy and Radiative Transfer*, Vol. 73, No. 2-5 , pp. 461-472, 2002.
11. Li, G., and Modest, M.F., "Importance of Turbulence-Radiation Interactions in Turbulent Reacting Flows," *ASME/IMCE*, Louisiana, 2002.
12. FLUENT Computational Fluid Dynamics Software, Version 6.2.16, FLUENT Corp., New Hampshire, 2005.
13. Smoot, L.D., Boardman, R.D., Brewster, B.S., Hill, S.C., and Foli, A.K., "Development and application of an acid rain precursor model for practical furnaces," *Energy and Fuels*, Vol. 7, pp. 786-795, 1993.
14. Smoot, L.D., and Smith, P.J., "NO<sub>x</sub> pollutant formation in a turbulent coal system in coal combustion and gasification," Plenum Press, N.Y., page 373, 1985.
15. Weigand, P., Meier, W., Duan, X.R., Stricker, W., and Aigner, M., "Investigations of swirl flames in a gas turbine model combustor I: Flow field, structure, temperature, and species distributions," *Combustion and Flame*, Vol. 144, pp. 205-224, 2006.
16. GAMBIT User's Manual, Version 2.0.0, 2000.
17. Libby, P.A., and Williams, F.A., *Turbulent Reacting Flows*, Springer-Verlag, 1980.
18. Vandoormaal, B.E., and Raithby, G.D., "Enhancements of the SIMPLE method for predicting incompressible fluid flows," *Numerical Heat Transfer*, Vol. 7, pp. 147-163, 1984.
19. Versteeg, H. L., and Malalasekera, W., *An Introduction to Computational Fluid Dynamics*, Longman, 1996.
20. Magnussen, B.F., and Hjertager, B. H., "On mathematical modeling of turbulent combustion with special emphasis on soot formation and combustion," *Computer Methods in Applied Mechanics and Engineering*, Vol. 3, pp. 269-289, 1977.
21. Spalding, B., "Mixing and chemical reaction in steady confined turbulent flames," *Thirteen Symposium (International) on Combustion*, The Combustion Institute, pp. 649-657, 1970.
22. Peters, N., *Turbulent Combustion*, Cambridge University Press, 2000.
23. Pope, S.B., "PDF method for turbulent reactive flows," *Progress in Energy and Combustion Science*, Vol. 11, pp. 119-192, 1985.
24. Peters, N., "Laminar diffusion flamelet models in non-premixed turbulent combustion," *Progress in Energy and Combustion*, Vol. 10, pp. 139-339, 1984.
25. Lockwood, F.C., and Shah, N.C., "A new radiation solution method for incorporation in general combustion prediction procedures," *Eighteenth Symposium (International) on Combustion Institute*, pp.1405 -1409, 1981.
26. Hottel, H.C., and Sarofim, A.F., *Radiative Transfer*, McGraw-Hill, New York, 1967.
27. FLUENT User's Manual, Version 6.2.16, 2005.

28. Hanson, R.K., and Salimian, S., "Survey of rate constants in H/N/O systems," W. C. Gainer, editor, Combustion Chemistry, page 361, 1984.
29. Fenimore, C.P., "Destruction of NO by NH<sub>3</sub> in lean burnt gas," Combustion and Flame, Vol. 37, pp. 245-250, 1980.

Archive of SID